

東京都立大学。野上 邦崇
東京都立大学 伊藤 文人

1. まえがき：本報告は、吊橋主塔のラーメン柱材の有効座屈長について厳密解、及び近似解と有限剛体要素モデル（シャンレモデルの拡張モデル）の固有値（座屈荷重）からの換算有効座屈長を比較し、さらに水平材の剛性をパラメータにし、初期曲りを含む幾何学的非線形及び残留応力を持つ材料非線形を考慮したラーメン柱材の耐荷力問題を解析している。

2. 解析モデル及び解析仮定：解析モデルは、要素間を曲げひずみと軸ひずみの両方を能動的に考慮できるように上下フランジ断面に取り付けた2本の伸縮バネを結合し、この2本のバネに弾性体としての力学的特性を与えたもので、従って要素自身は剛体要素と見なすのである。さらにこの解析モデルにおいて重要なパラメータは、直線体としての要素のひずみエネルギーとバネのひずみエネルギーが等価となるように決定し、要素が等分割であれば

$$k_i^{(1)} = k_i^{(2)} = k = (m-1)EA/2L, \quad h = r \quad (1)$$

なる式を得る。ここで $(m-1)$ はバネの節点数、 L は柱の全長、 A は断面積、 r は断面2次半径、 h は断面中心から両側取り付け位置までの距離である (Fig. 1)。解析仮定は、

①両端要素以外等分割要素 ②両端ヒンジ ③柱の断面は箱型対称断面（腹板） ④腹板

は無視する。ひずみ曲線は残留応力の有る弹性性曲線とする (Fig. 3) ⑤水平材を回転バネでモデル化する。

3. 断面諸元：今回の吊橋主塔の断面諸元は、下記のようである。

柱	$A (cm^2)$	$I (m^4)$	$R (m)$	$\rho_0 (kg/cm^3)$
	0.5144	0.6649	1.14	3600

$L_1 (m)$	L_2	L_3	L_{1+2+3}	L
18.6	37.3	32.6	88.5	177

水平材	A	I	ℓ	$K (x 10^6)$
上段	0.1792	0.3179	22.58	1.776
中段	0.2485	0.6771	23.6	3.615
下段	0.4366	1.0558	29.94	5.334

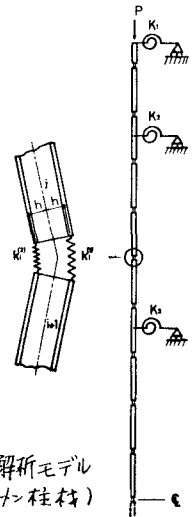
4. 解析法：ラーメン形式主塔の場合、ラーメン構造内1本ずつの柱について注目し有効座屈長を考える時、厳密解は上の行列式の固有値解析となる。(ただし柱の断面は一様) ここで $\lambda^2 = P/EI$, $C = EI\lambda$, $\alpha_1 = \lambda L_1$,

$\alpha_2 = \lambda L_2$, $\alpha_3 = \lambda L_3$ 。又近似計算による有効座屈長を求める式は

$$\frac{\pi^2 G_T G_B / R^2 - \beta b}{6(G_T + G_B)} = \frac{\pi^2}{\tan(\pi/R)}, \quad \ell_e = R \cdot L_c \quad (2)$$

ここで $G_T = \frac{\sum I_{ct}/L_{ct}}{\sum I_{bt}/L_{bt}}$, $G_B = \frac{\sum I_{cb}/L_{cb}}{\sum I_{bb}/L_{bb}}$, T, B はラーメン構造内のラーメン柱材の上下端部を意味し、 $I_{ct}, I_{bt}, I_{cb}, I_{bb}$ は柱の断面2次モーメント、その骨組長、及びラーメン柱 (K平材) の断面2次モーメント、その骨組長を意味する。Rは有効座屈長係数である。有限剛体要素モデルの場合の有効座屈長は柱全体系に対し細長比を含む2次の固有値問題となり、

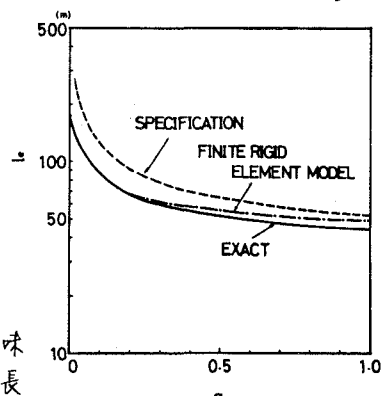
Fig. 2 水平材剛性の違いによるラーメン柱材の有効座屈長



$$\begin{matrix} \frac{C \cos \alpha_1}{\sin \alpha_1} + K_1 & -\frac{C}{\sin \alpha_1} & 0 \\ -\frac{C}{\sin \alpha_1} & \frac{C \cos \alpha_2}{\sin \alpha_1} + K_2 & -\frac{C}{\sin \alpha_2} \\ 0 & -\frac{C}{\sin \alpha_2} & \frac{C \cos \alpha_3}{\sin \alpha_2} + K_3 \end{matrix} = 0$$

$$G = \begin{bmatrix} 3 & 1 & 2 \\ -1 & 2 & 0 \\ 0 & -\sqrt{2} & 34 \end{bmatrix}_{19 \times 19}^{\text{sym}}$$

$$A = \begin{matrix} 4D+4q \\ -4B, D+q, \\ B, -4-q, D+q, \\ B, -4, D \\ B, -4, D+q, \\ B, -4-q, D-q, \\ B, -4, D \\ B, -4-q, D-q, \\ B, -4, D+q, \\ B, -4-q, D+q, \\ B, -4, D \\ B, -4, D+q, \\ B, -4-q, D-q, \\ B, -4, D \\ B, -4-q, D-q, \\ B, -4, D+q, \\ B, -4-q, D+q, \\ B/2, -(4-BV2)(4+D+4q)/4 \end{matrix}_{19 \times 19}$$



$\det |A - PG| = 0$ からの最小固有値による換算有効座屈長として与えられ、
 $l_e = \pi \sqrt{EI/P_c}$ となる。本解析では要素分割を $m=20$ としたので、その場合、
 A, G は左のようになる。ここで $D = 6 + 2Q^2, B = 1 - Q^2, Q = P/4kh$
 $S = L/2kh^2n, \theta_1 = K_1/kh^2, \theta_2 = K_2/kh^2, \theta_3 = K_3/kh^2, n = m-1$ である。

実際、厳密式の λ 、近似式の R, B が有限剛体要素モデルの P の各々の最小解は逐次近似法で求めた。ラーメン柱材の耐荷力解析は、変位増分による Newton-Raphson 法を用いて行った。解析に当っての全手順は以下である。

ギヤ、及び合方程式は次のようになる。

$$\Pi = \sum_{i=1}^n \left[\int_0^{l_i^{(0)}} f_i d(l_i) + \int_0^{l_i^{(1)}} f_i d(l_i) \right] + \frac{1}{2} \sum_{i=1}^n K_i \theta_i^{*2} - P \left[\frac{L}{2n} (\cos \theta_1^* + \cos \theta_m^* - \cos \theta_1 - \cos \theta_m) + \frac{L}{n} \sum_{i=2}^n (\cos \theta_i^* - \cos \theta_i) + \sum_{i=1}^n d_i (\cos \frac{\theta_i + \theta_{i+1}}{2}) \right] \quad (3)$$

$$f_i^{(0)} + f_i^{(1)} - P \cos \left(\frac{\theta_i + \theta_{i+1}}{2} \right) = 0 \quad (i=1, n)$$

$$h(-f_i^{(0)} + f_i^{(1)}) + K_1 \theta_1 - \frac{PL}{2n} \sin \theta_1 + \frac{Pd_1}{2} \sin \left(\frac{\theta_1 + \theta_2}{2} \right) = 0$$

$$h(f_{i-1}^{(0)} - f_{i-1}^{(1)} - f_i^{(0)} + f_i^{(1)}) - \frac{PL}{2n} \sin \theta_i + \frac{Pd_i}{2} \sin \left(\frac{\theta_{i-1} + \theta_i}{2} \right) + \frac{Pd_i}{2} \sin \left(\frac{\theta_i + \theta_{i+1}}{2} \right) = 0 \quad (i=2, n)$$

$$h(f_{i-1}^{(0)} - f_{i-1}^{(1)} - f_i^{(0)} + f_i^{(1)}) + K_2 \theta_2^* - \frac{PL}{2n} \sin \theta_i + \frac{Pd_i}{2} \sin \left(\frac{\theta_{i-1} + \theta_i}{2} \right) + \frac{Pd_i}{2} \sin \left(\frac{\theta_i + \theta_{i+1}}{2} \right) = 0$$

$$h(f_{m-1}^{(0)} - f_{m-1}^{(1)}) + K_3 \theta_m - \frac{PL}{2n} \sin \theta_m + \frac{Pd_m}{2} \sin \left(\frac{\theta_{m-1} + \theta_m}{2} \right) = 0 \quad (4)$$

ただし f は非線形バネ力、 θ は軸方向変位、 θ^* は初期曲り、 $d^{(0)}, d^{(1)}$ はバネの伸縮変化量、 θ_i^* は回転バネ位置における θ_i 。合方程式の第 3 式は回転バネが無い場合と回転バネがある場合第 4 式を使うことになる。なお境界条件式は次のようになる。

$$\frac{L}{2n} (\sin \theta_1 + \sin \theta_m) + \frac{L}{n} \sum_{i=1}^n \sin \theta_i - \sum_{i=1}^n d_i \sin \left(\frac{\theta_i + \theta_{i+1}}{2} \right) = 0 \quad (5)$$

$$+\frac{L}{2n} (\sin \theta_1 - \sin \theta_m^*) + \sum_{i=2}^{m-1} \frac{L}{n} (\sin \theta_i - \sin \theta_i^*) - w^* = 0 \quad (6)$$

(5) 式を用いて変位増分 w^* を与えるようにしてい。ところが(4)の第 2 式、第 4、第 5 式を加えると(5)の境界条件式を含むので自由度数を考慮して(4)の第 5 式の代わりに(6)式を使つた。

5. 解析結果：厳密解、近似解、本解析解の有効座屈長をまとめたのが Fig. 2 である。近似解は厳密解に比しかなり大きめであり、本解析モデルの換算有効座屈長は水平材の剛性が小さい領域では厳密解に一致しているが、その後剛性が大きくなるにつれて近似解に近づく傾向にある。

Fig. 4 は非線形解析による荷重-変形曲線であるが、完全弾塑性の S-S 曲線における最終耐荷力に対し、残留応力を考慮した場合の最終耐荷力が下まわることより残留応力の影響が大きいことを示している。又

の傾向は水平材の剛性が大きくなるほど著しい。Fig. 5 は水平材剛性が $\alpha=1$ の場合の最終耐荷力時の変形状態を示している。

水平材の影響が表われた妥当な変形挙動である。次に柱材のバネが最初に降伏に達するバネ位置を示したのが Fig. 6 である。 $\alpha=0 \sim 0.02$ で中央部の内側バネが、 $\alpha=0.04 \sim 0.5$ で下段水平材の内側バネが、 $\alpha=1$ で中段下段水平材位置の外側バネが同時に降伏している。水平材剛性変化による最終耐荷力曲線は道筋図示方書の曲線より大きな値となる。

文献：井上伸藤 剛体要素法による柱座屈解析 第1回講演集

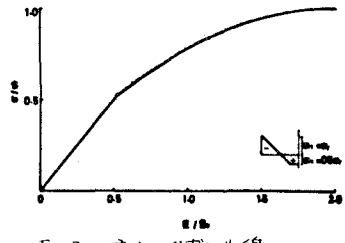


Fig. 3 応力-ひずみ曲線

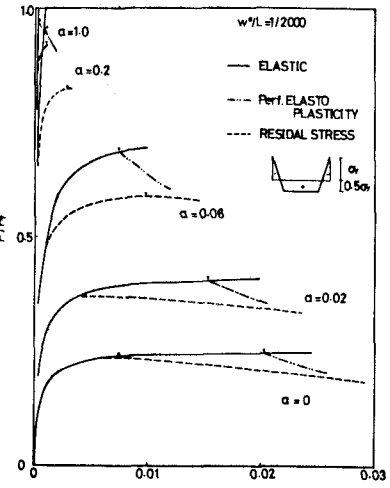


Fig. 4 水平材剛性変化による荷重-変形曲線

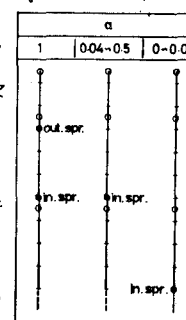


Fig. 5 最終耐荷力時の変形状態

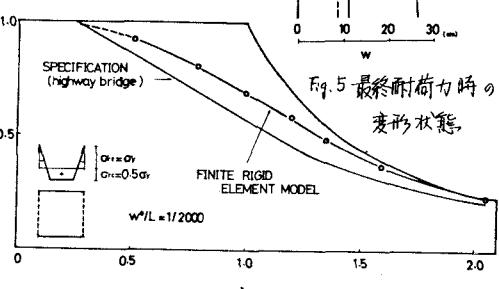


Fig. 6 水平材剛性変化による最終耐荷力曲線